

fw-079

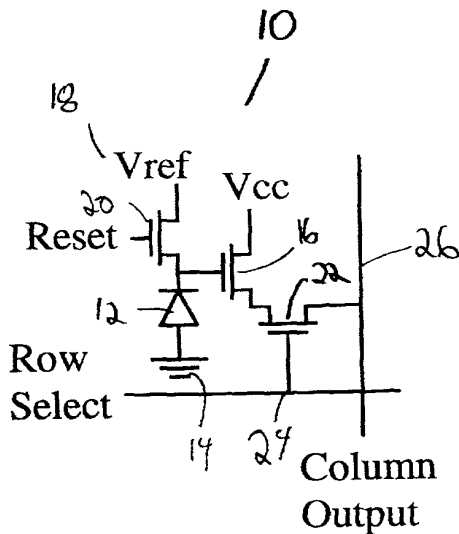


FIG. 1A

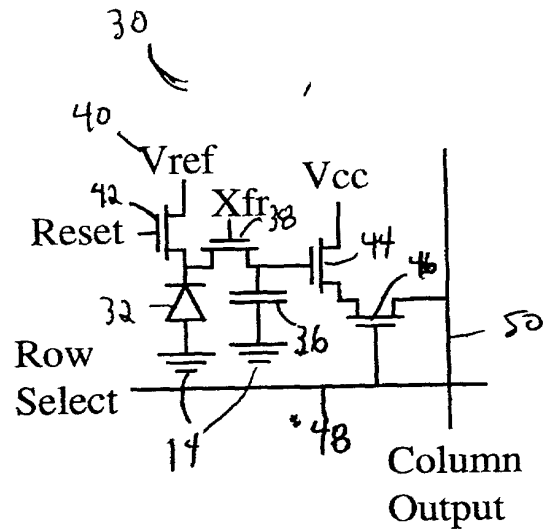


FIG. 1B

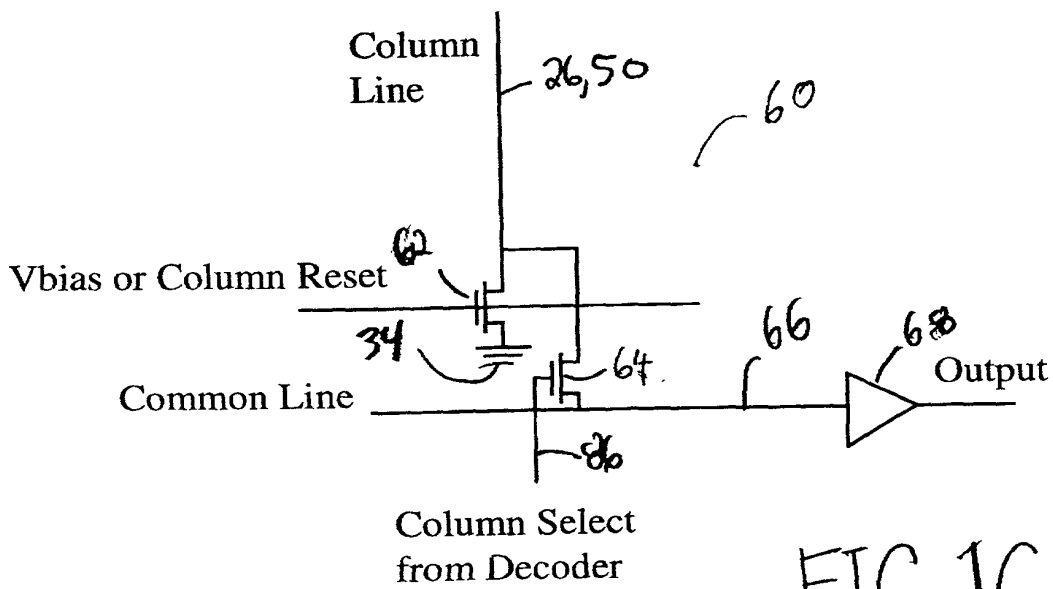


FIG. 1C

FOV-079

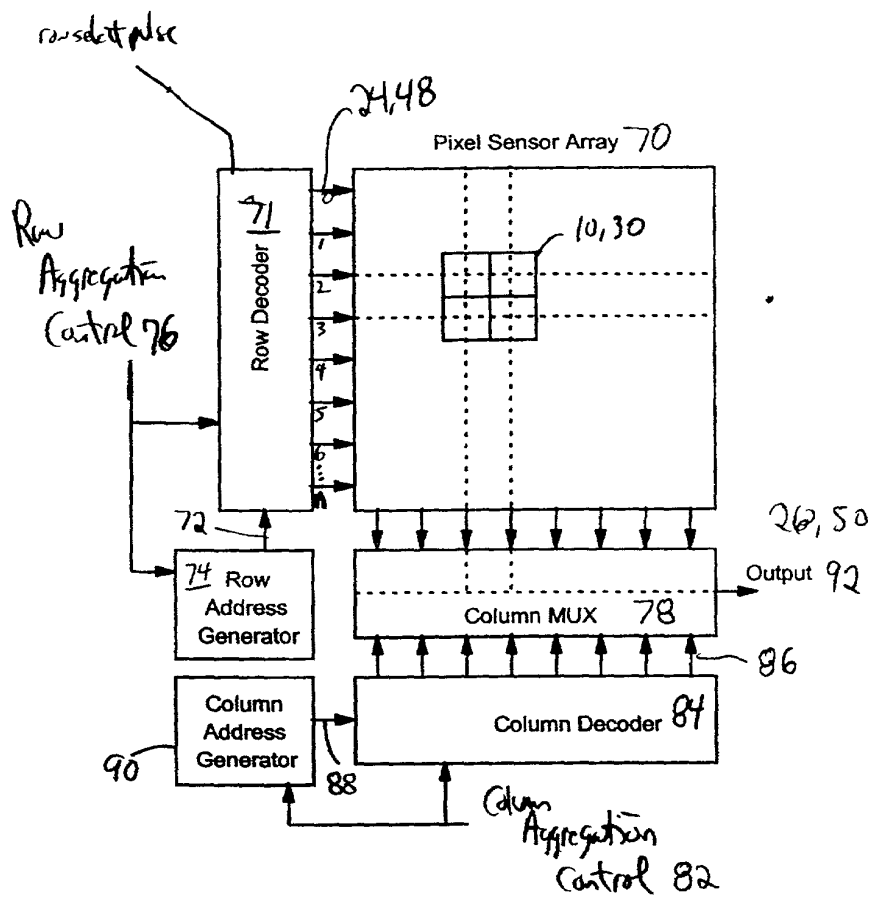


FIG. 2A

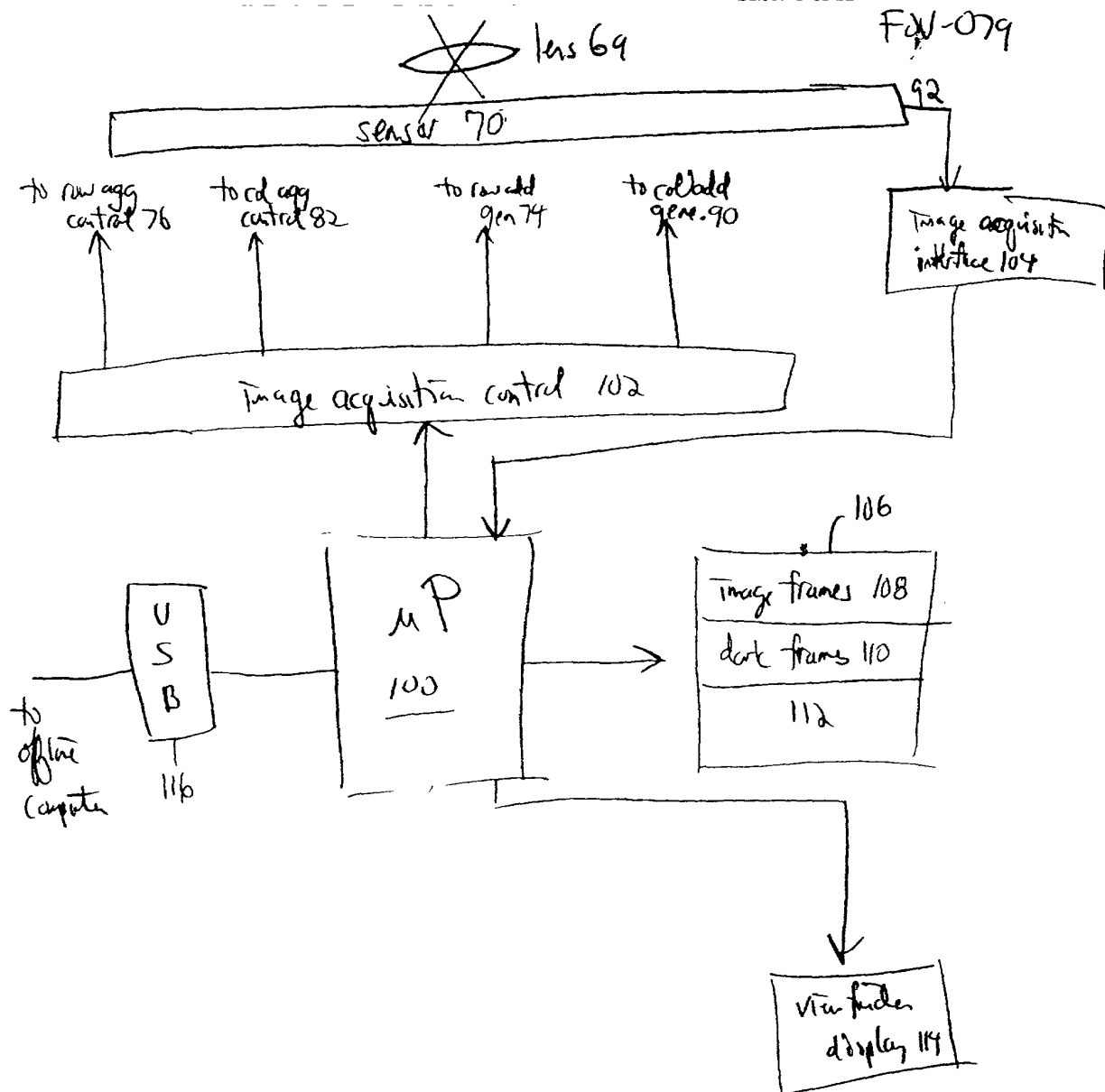


FIG. 2B

FDV-079

Input from pixel array

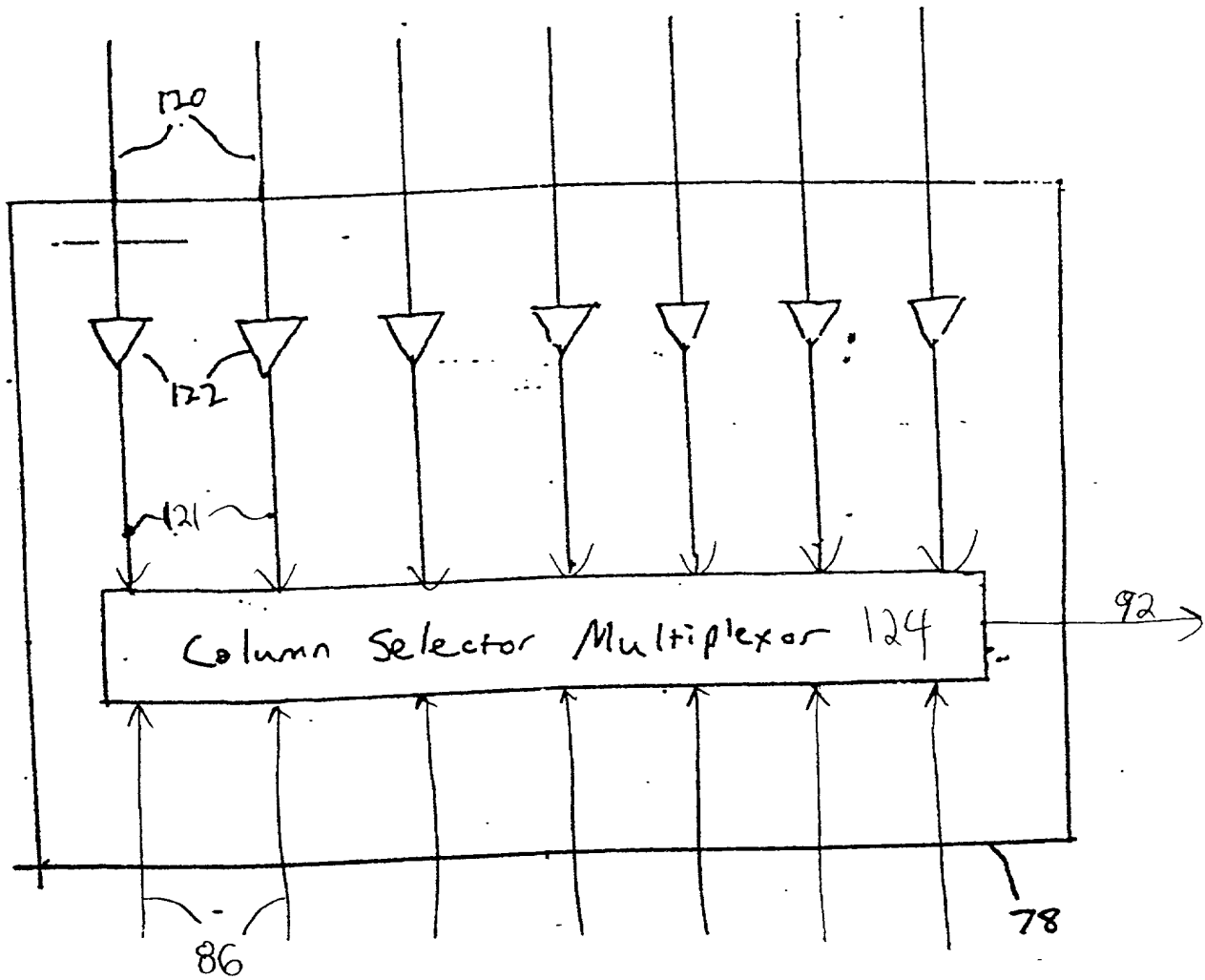
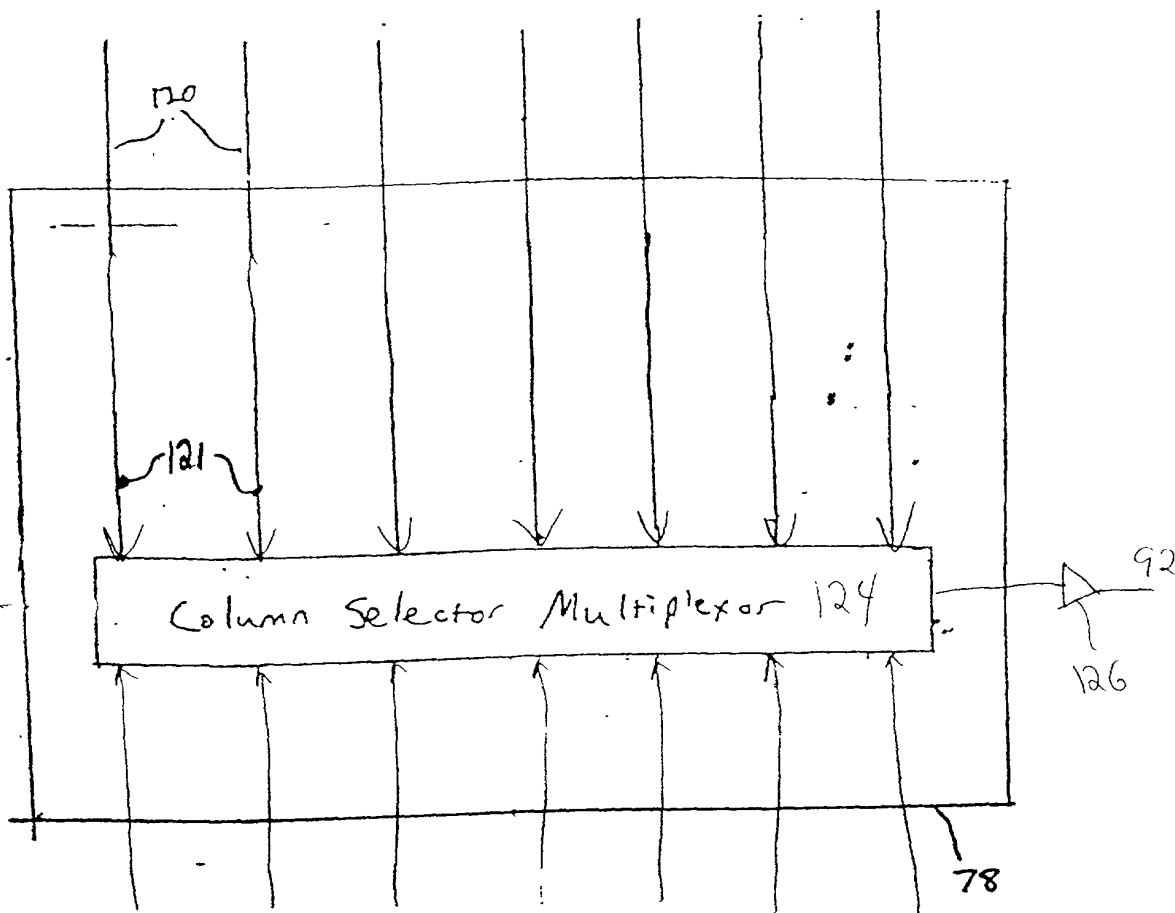


FIG. 3A

FOV-079

Input from pixel array



F16.3B

FOV-079

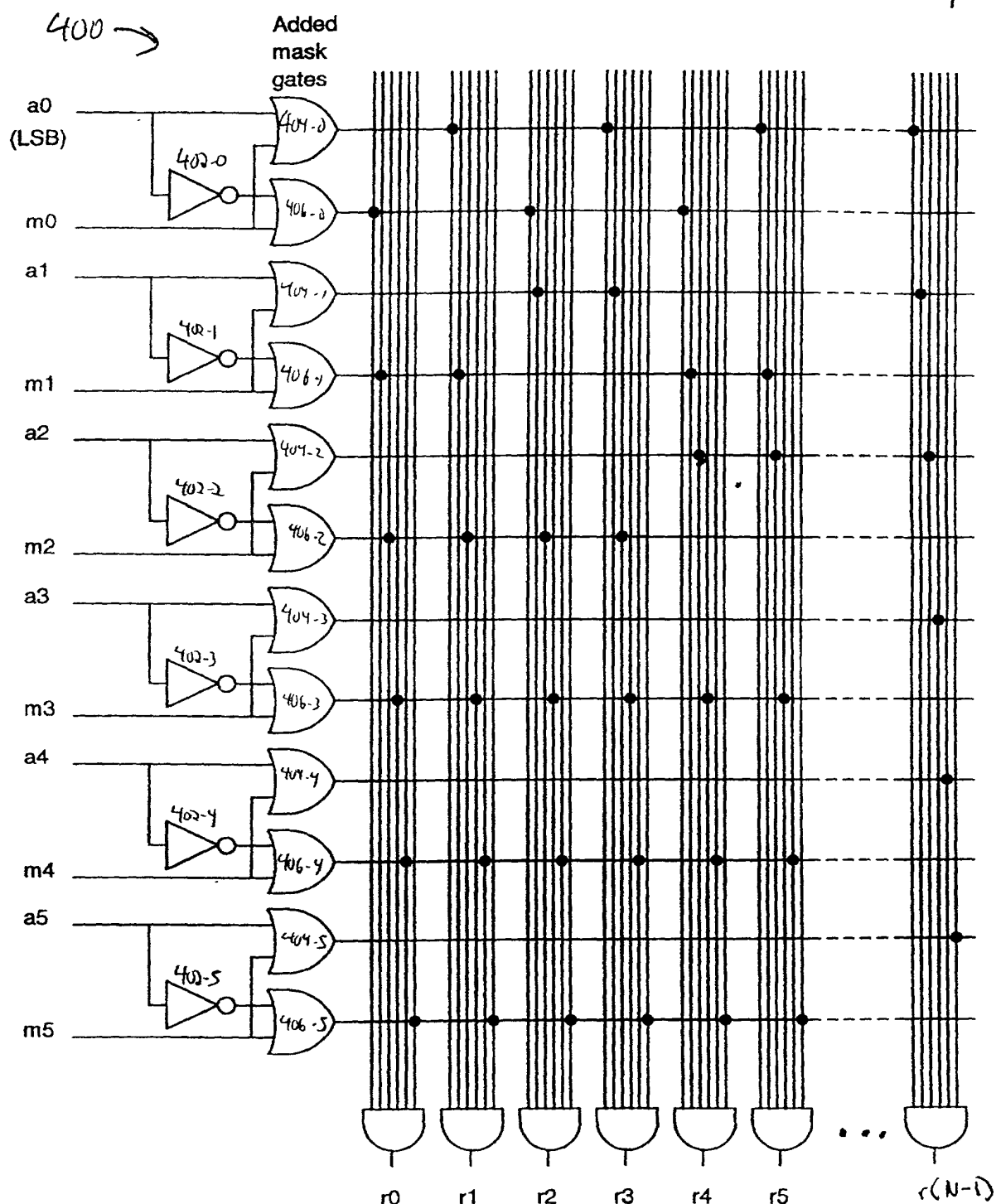
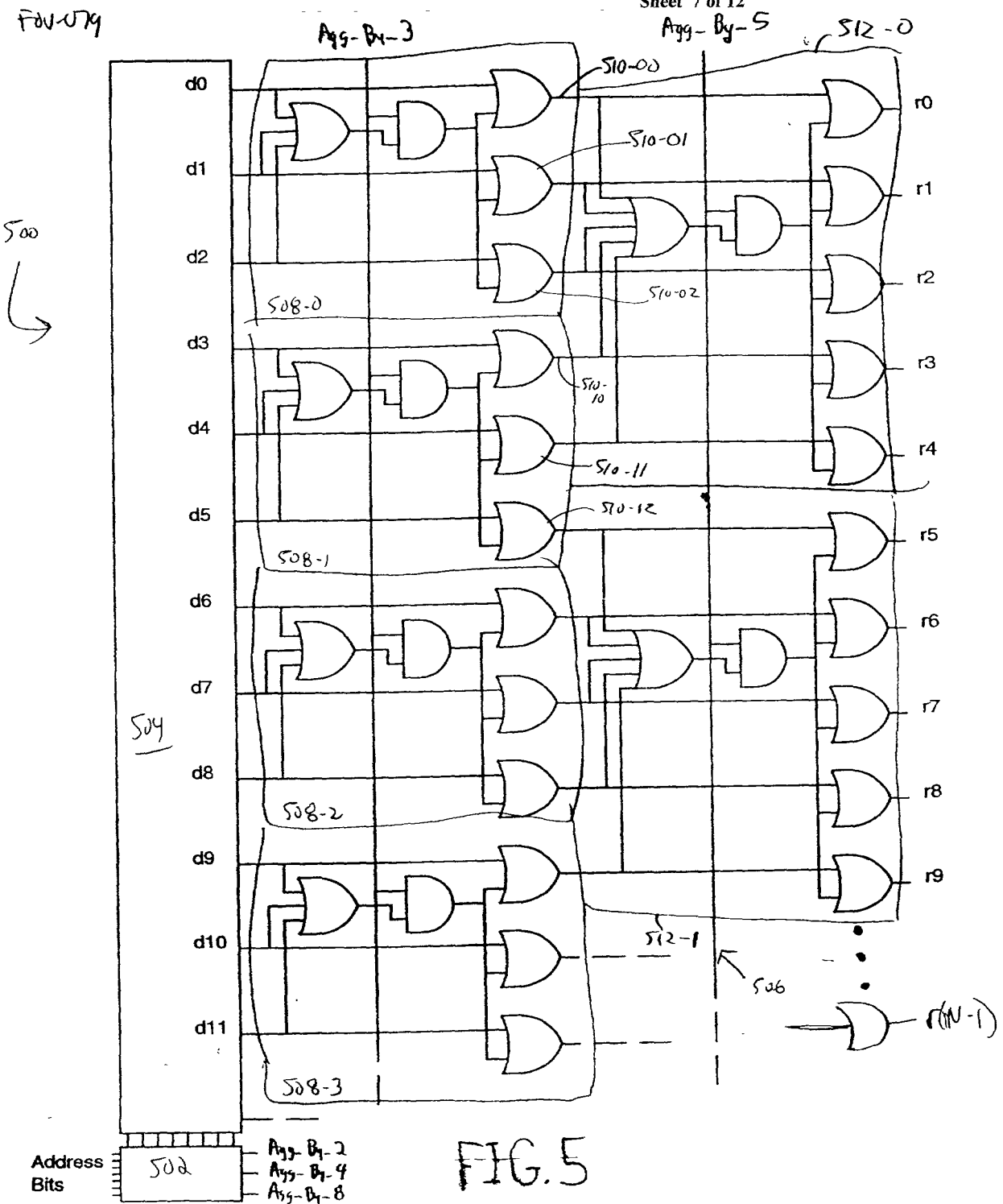
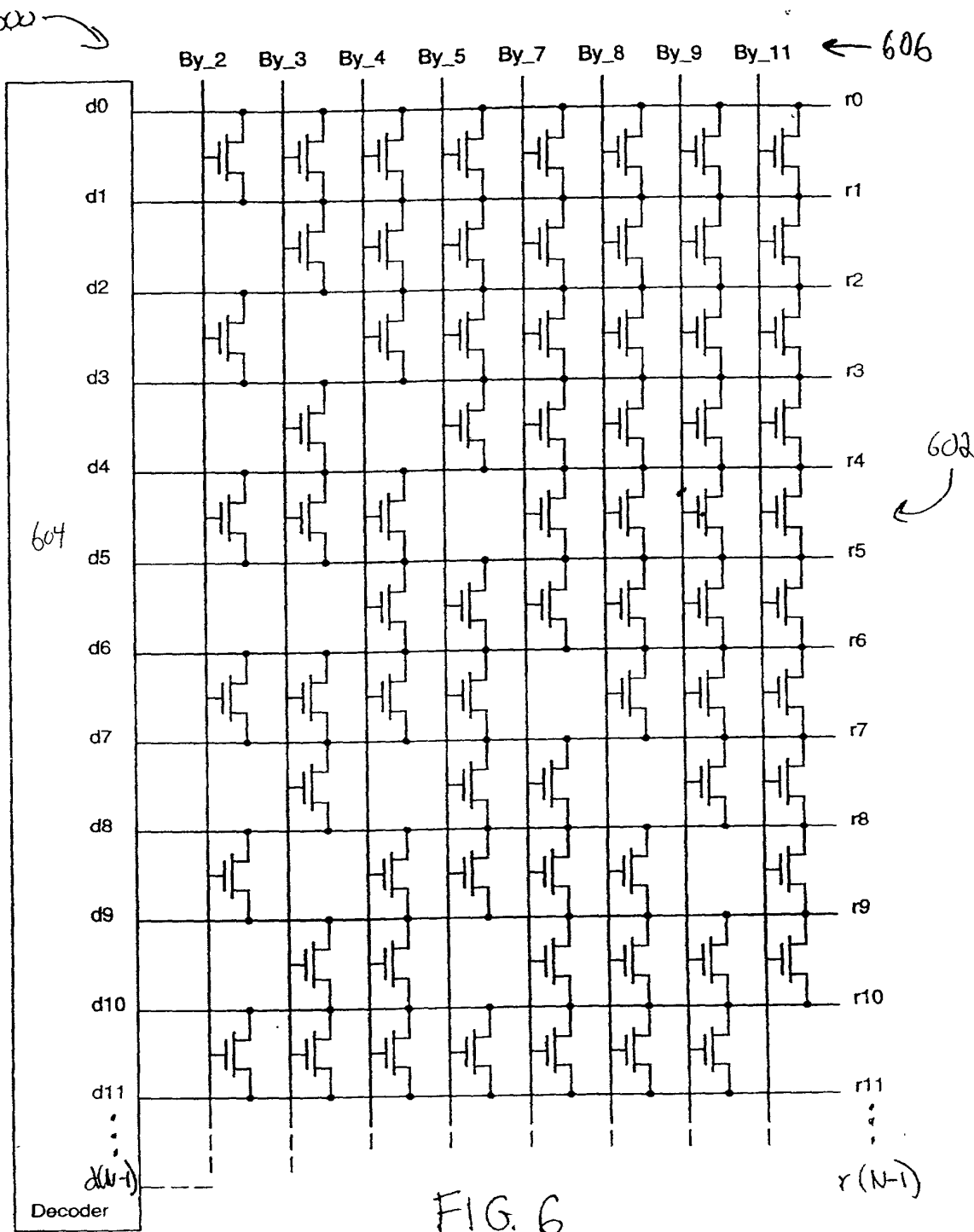


FIG. 4





FOV-079

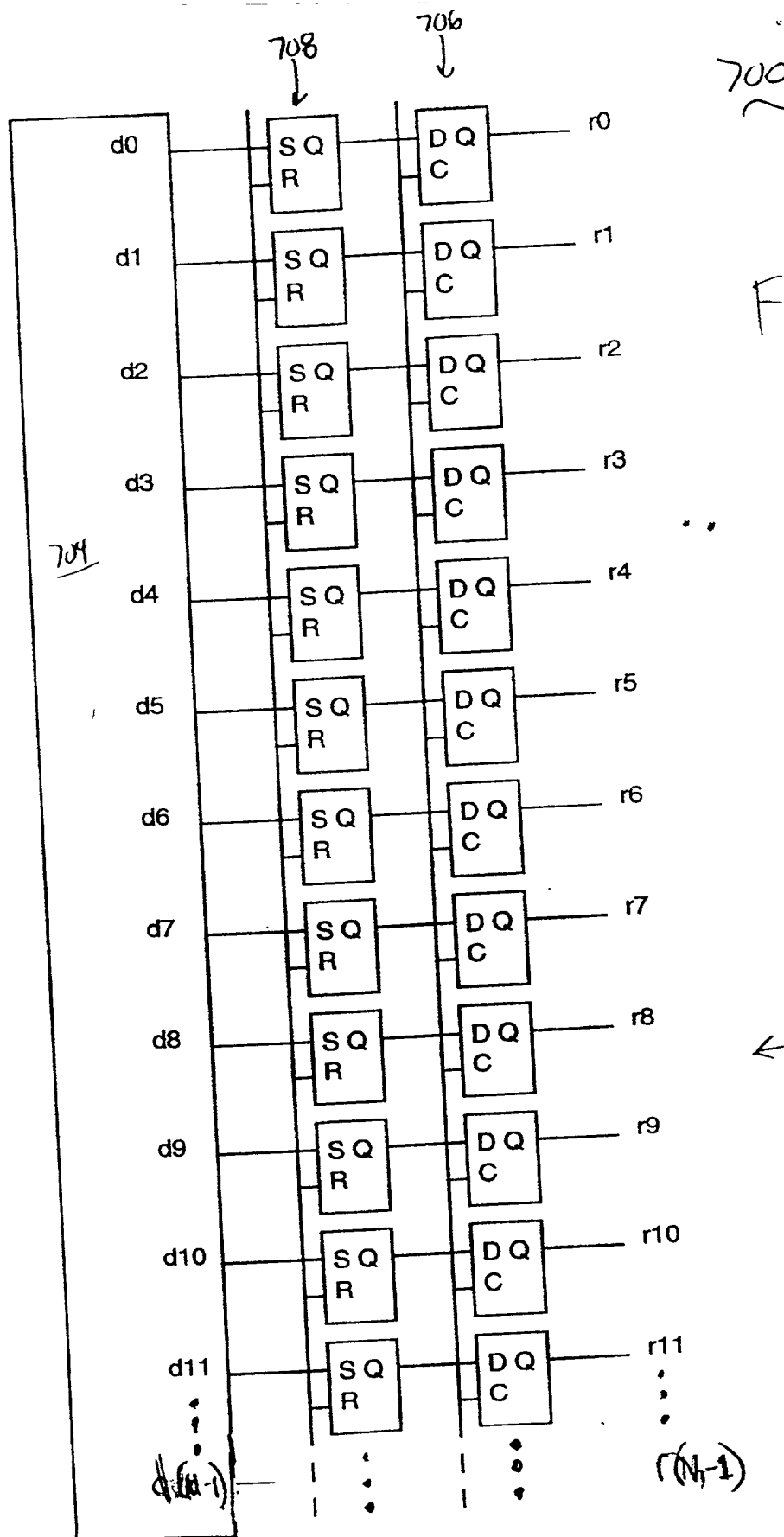


FIG. 7

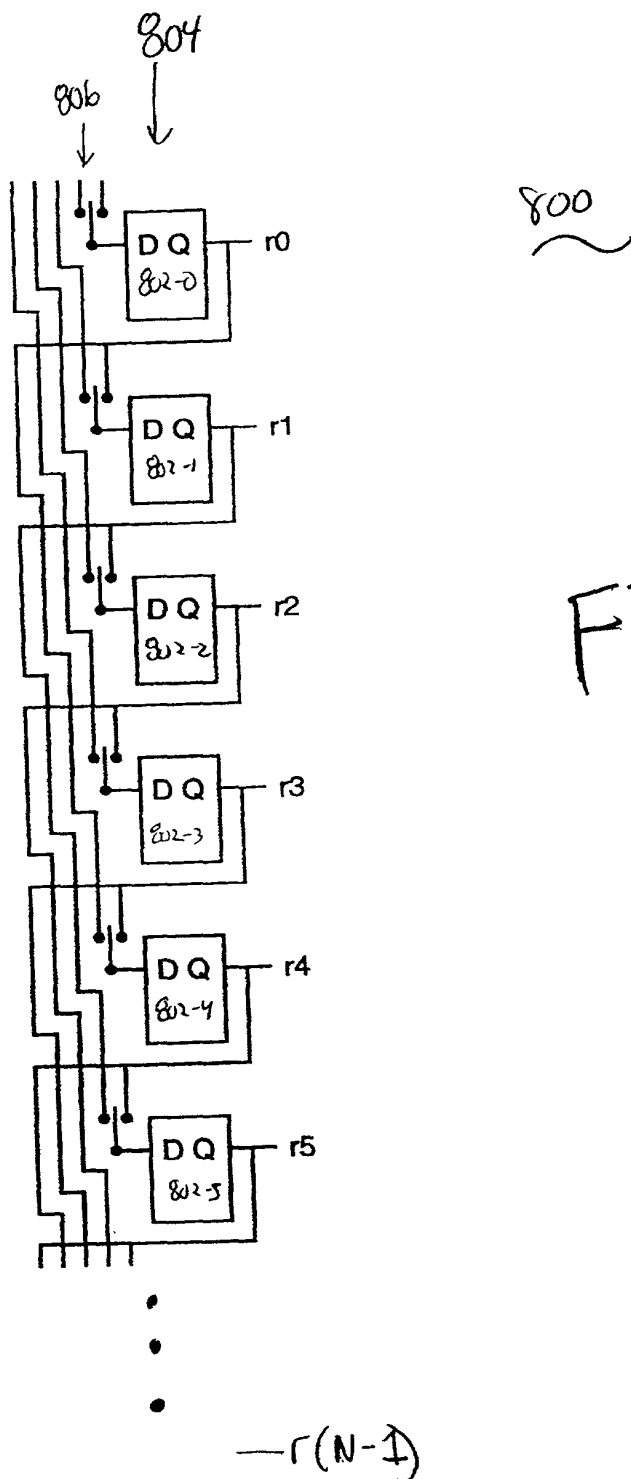


FIG. 8

FW-079

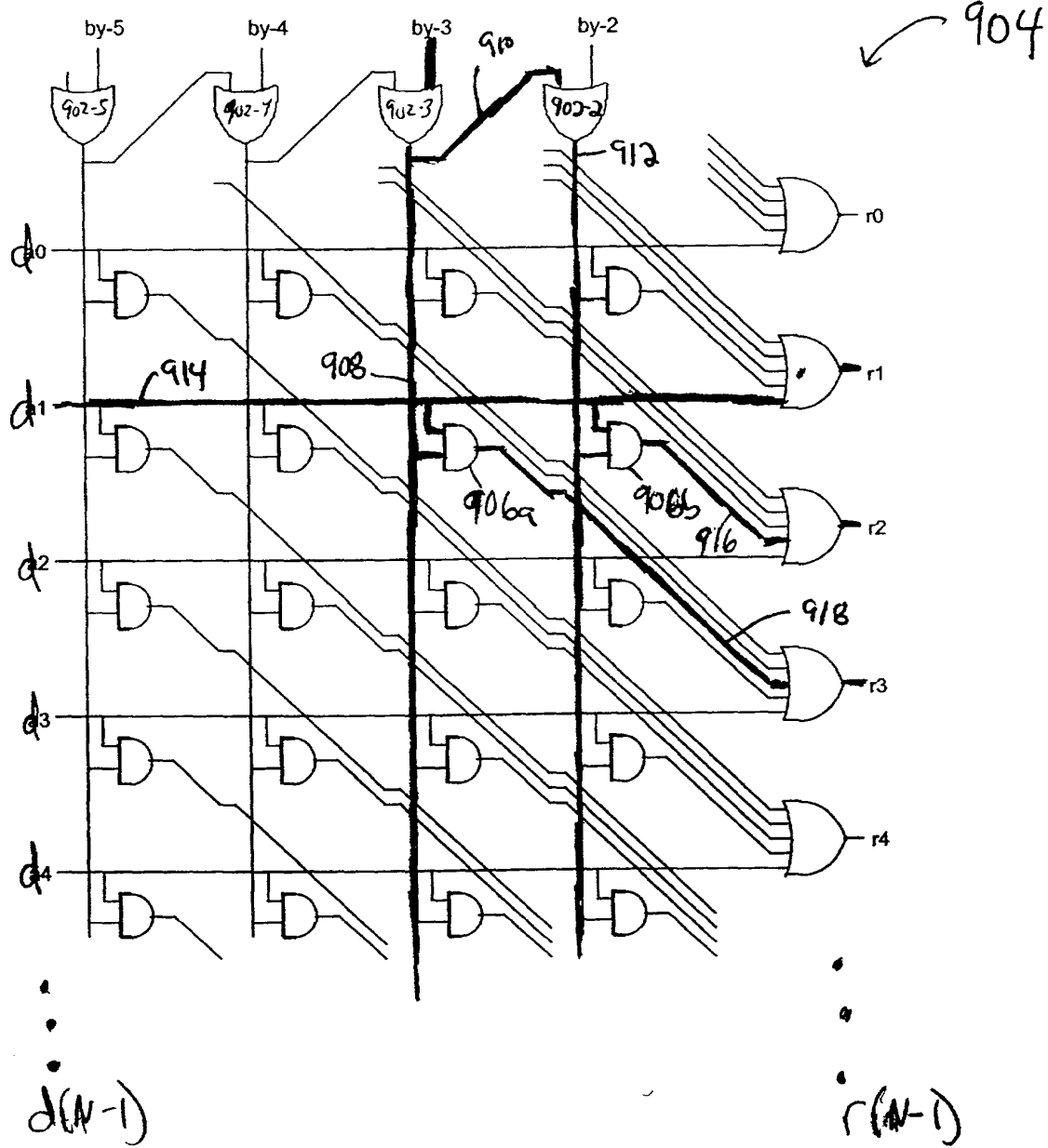


FIG. 9

900

0	2					
Gr	R	Gr	R	Gr	R	
B	Gb	B	Gb	B	Gb	
Gr	R	Gr	R	Gr	R	
B	Gb	B	Gb	B	Gb	
Gr	R	Gr	R	Gr	R	
B	Gb	B	Gb	B	Gb	

FIG. 10A

0	1			4	5	
Gr	R			Gr	R	
B	Gb			B	Gb	
Gr	R			Gr	R	
B	Gb			B	Gb	

FIG. 10B